

实验三 用 FFT 进行谱分析

实验四 利用 FFT 实现快速卷积

相关课件: DSP_14. ppt DSP_15. ppt DSP_16. ppt

参考资料:

本节所涉及的内容,很多都是第3章(DFT)的内容,用FFT法来解决。

1. FFT是DFT的快速计算方法,因而DFT的所有应用,用FFT都能快速完成。一维FFT的格式为

* $y = \text{fft}(x)$

它利用FFT计算矢量 x 的DFT,当 x 为矩阵时, y 为矩阵 x 的每一列的FFT,fft采用混合基算法。当 x 的长度 $\text{length}(x)$ 为 2^L (L 为正整数)时,fft得到基-2 FFT算法,否则就采用运行稍慢的混合基算法(将 n 分解为素数),若 n 为素数,则fft采用的是原始的DFT算法。

* $y = \text{fft}(x, n)$,则采用 n 点FFT,当 x 的长度小于 n 时,fft在 x 的尾部补零,补成 n 点数据;当 x 的长度大于 n 时,fft就会截断序列 x ,使之长度为 n 点长,当 x 是矩阵时,fft按类似的方法处理列长度。

* fft是用机器语言而不是用MATLAB指令写成的(即不存在.m文件),因而它的执行速度很快。

* $\text{ifft}(x)$; $\text{ifft}(x, n)$ 是计算IDFT的,其特点与fft相同,因此从运行速度上考虑,最好选为 $n = 2^L$ 。

2. 计算DTFT的矩阵表示法。当给定 $x(n)$ 及 n 向量,并将频率离散化,规定计算分辨率为 $d\omega = \frac{2\pi}{K}$,抽样频率向量序号为 k ,则DTFT的公式

$$X(e^{j\omega}) = \sum_{n=-\infty}^{\infty} x(n)e^{-jn\omega}$$

可写成矩阵表示形式

$$[X(e^{j\omega_1}), X(e^{j\omega_2}), \dots, X(e^{j\omega_K})] = [x(n_1), x(n_2), \dots, x(n_N)] \begin{bmatrix} e^{-j\omega_1 n_1} & e^{-j\omega_2 n_1} & \dots & e^{-j\omega_K n_1} \\ e^{-j\omega_1 n_2} & e^{-j\omega_2 n_2} & \dots & e^{-j\omega_K n_2} \\ \vdots & \vdots & \ddots & \vdots \\ e^{-j\omega_1 n_N} & e^{-j\omega_2 n_N} & \dots & e^{-j\omega_K n_N} \end{bmatrix}$$

将频率向量表示为 $\omega = [\omega_1, \omega_2, \dots, \omega_K]$, $\omega_k = kd\omega = k \cdot \frac{2\pi}{K}$, $k = 1, 2, \dots, K$

序列位置向量表示为 $n = [n_1 : n_N]$,则式中矩阵指数可写成 $-jn^T * \omega = -jn^T * kd\omega$ (n^T 表示位置向量的转置)

MATLAB 中用 w 代替 ω , 用 n' 代替转置 n^T , 则 DTFT 也可表示为 (x 用行向量表示)

$$X = x * \exp(-j * dw * n' * k)$$

若 x, X 皆为列向量, 则将上式的矩阵进行转置, 可得另一种形式的表示

$$X = \exp(-j * dw * k' * n) * x$$

【例 4.4】 已知 $x(n) = [2, 1, -1, 2, 3]$, 用矩阵表示法求 $x(e^{j\omega}) = \text{DTFT}[x(n)]$ 及 $x(n)$ 的 5 点 DFT, 并将 DFT 的 $(0, 2\pi)$ 范围移到与 DTFT 的 $[-\pi, \pi]$ 重叠。

解

```
% x(n) = [2, 1, -1, 2, 3];
% 用矩阵表示法求 x(e^{j\omega}) = DTFT[x(n)] 及 5 点 DFT 并将 DFT 的 (0, 2\pi) 范围移到与 DTFT 的 [-\pi, \pi]
% 相重叠
clc; clear all
x = [2, 1, -1, 2, 3]; nx = 0:4; K = 128; dw = 2 * pi / K;
k = floor((-K/2 + 0.5):(K/2 - 0.5));
X = x * exp(-j * dw * nx' * k);
subplot(221); plot(k * dw, abs(X)); hold on; xlabel('\omega'); ylabel('幅度响应');
title('5 点序列的 DTFT 和 FFT');
Xd = fft([2, 1, -1, 2, 3]); plot([0:4] * 2 * pi / 5, abs(Xd), '.'); grid;
Xd1 = fftshift(Xd);
subplot(222); plot(k * dw, abs(X)); hold on; xlabel('\omega'); ylabel('幅度响应'); title('FFT 移位后');
plot([-2:2] * 2 * pi / 5, abs(Xd1), '.'); grid;
subplot(223); plot(k * dw, angle(X)); hold on; xlabel('\omega'); ylabel('相位响应');
title('FFT 移位后'); grid;
```

程序运行结果如图 4.31 所示。

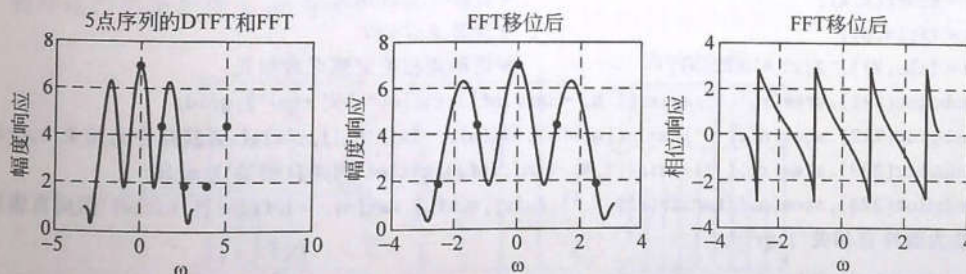


图 4.31 例 4.4 的图

4.11.1 用 FFT 计算有限长序列的线性卷积和线性相关

采用图 3.10 的框图, 用 FFT 算法来求解两有限长序列的线性卷积及线性相关。

【例 4.5】 计算序列 $x(n) = [2, 1, 3, 2, 1, 5, 1]$ 与 $h(n) = [1, 2, -1, -3]$ 的线性卷积。

解

```
clc; clear all
x = [2, 1, 3, 2, 1, 5, 1]; h = [1, 2, -1, -3];
N = length(x) + length(h) - 1; % 卷积输出对应长度
n = 0:N-1;
```



```

x = [x, zeros(1, N - length(x))];
h = [h, zeros(1, N - length(h))];
X = fft(x); H = fft(h);
Y = X * H; y = ifft(Y);
subplot(221), stem(n, x, '.'); xlabel('n'); ylabel('x(n)'); title('序列 x(n)'); grid;
subplot(222), stem(n, h, '.'); xlabel('n'); ylabel('h(n)'); title('序列 h(n)'); grid;
subplot(223), stem(n, y, '.'); xlabel('n'); ylabel('y(n)'); title('序列 y(n)'); grid;

```

程序运行结果如图 4.32 所示。

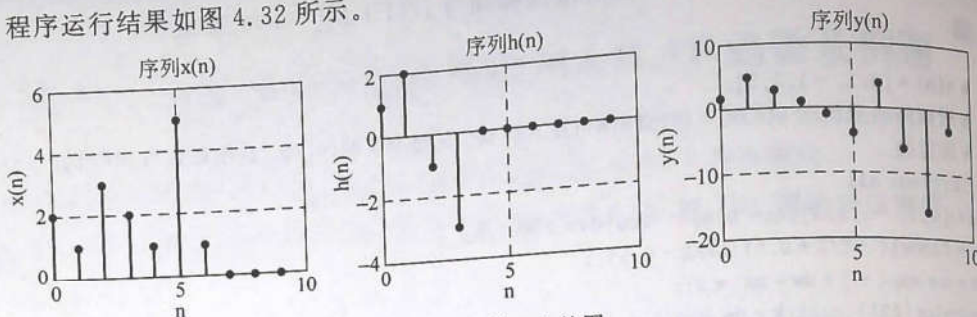


图 4.32 例 4.5 的图

【例 4.6】 计算 $x(n)=[2, 1, 3, 2, 1, 5, 1]$ 的线性自相关。

解

```

clc; clear all
x = [2, 1, 3, 2, 1, 5, 1];
N = 2 * length(x) - 1;
n = -length(x) + 1 : length(x) - 1;
r = xcorr(x, x);
X = fft(x, N);
R = (abs(X)).^2; r1 = ifft(R);
subplot(221), stem(x, '.'); axis([1, N, -inf, inf]); title('序列 x(n)'); grid;
subplot(222), stem(n, r, '.'); axis([min(n), max(n), -inf, inf]); title('直接线性自相关'); grid;
subplot(223), stem(r1, '.'); axis([1, N, -inf, inf]); title('圆周自相关'); grid;
subplot(224), stem(n, fftshift(r1), '.'); axis([min(n), max(n), -inf, inf]); title('圆周自相关转换为线性自相关'); grid;

```

程序运行结果如图 4.33 所示。

【例 4.7】 直接计算 $x(n)=[2, 1, 3, 2, 1, 5, 1]$ 与 $y(n)=[2, 1, 3, 4]$ 的线性互相关 $r_{xy}(m)$, 并利用 FFT 求此线性互相关。

解

```

clc; clear all
x = [2, 1, 3, 2, 1, 5, 1];
y = [2, 1, 3, 4];
N = length(x) + length(y) - 1;
n = -length(y) + 1 : length(x) - 1;
[rx, mm] = xcorr(x, y);
X = fft(x, N); Y = fft(y, N);
Rxy1 = X * conj(Y); rxy1 = ifft(Rxy1);

```

% 输入序列
 % 输入序列
 % 线性相关输出序列的长度
 % 线性相关输出的位置向量
 % 有位置向量的线性相关 rxy
 % 计算 x, y 的 FFT
 % 利用圆周相关定理计算相关

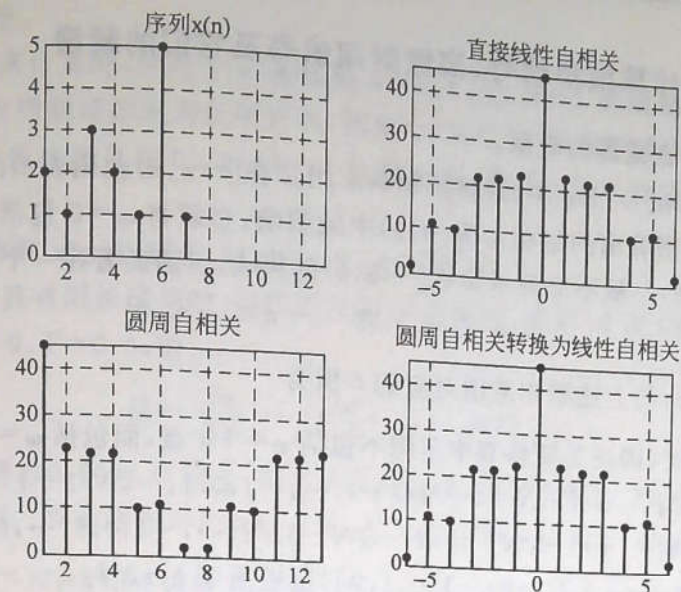


图 4.33 例 4.6 的图

```
subplot(231), stem(0:length(x)-1, x, '.'); grid; title('x(n)');
xlabel('n');
subplot(232), stem(0:length(y)-1, y, '.'); grid; title('y(n)'); xlabel('n');
subplot(233), stem(mm, rxy, '.'); grid; title('直接线性相关'); xlabel('n');
axis([-length(y)+1, length(x)-1, -inf, inf]);
subplot(234), stem(0:N-1, rxy1, '.'); grid; title('圆周相关'); xlabel('n');
subplot(235), stem(n, [rxy1(length(x)+1:N), rxy1(1:length(x))], '.');
grid; title('圆周相关转换为线性相关'); axis([min(n), max(n), -inf, inf]); xlabel('n');
```

程序运行结果如图 4.34 所示。

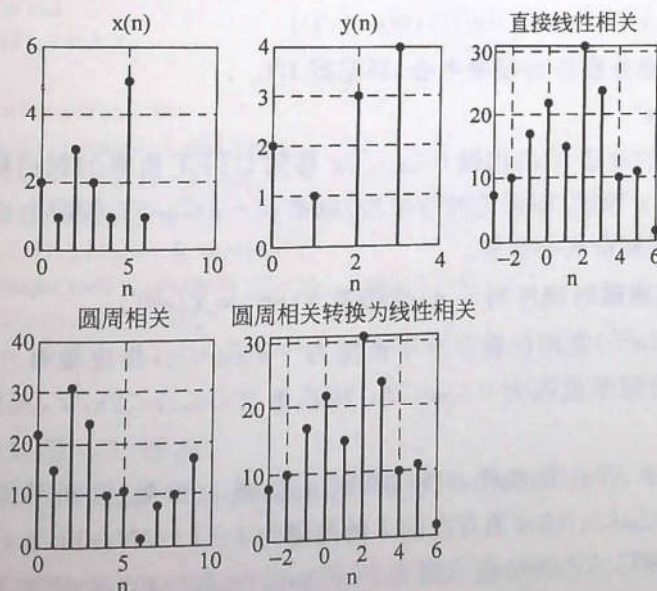


图 4.34 例 4.7 的图

4.11.2 用 FFT 计算模拟信号、离散时间信号及它们的频谱

1. 频率向量存在范围的表示。

如上面的讨论,在 DTFT 中,常将频率响应 ω 在 $[-\pi, \pi)$ 范围表示出来。

而 DFT(FFT)则算出的是在 ω 为 $[0, \pi)$ 中的频响,必须将 $\omega=0$ 包括在内,因而要去掉 $\omega=\pi$ (考虑到对称性,一般不必显示 ω 在 $[-\pi, 0)$ 的频响)。因而若在一个周期中表示,则为

$$0 \leq \omega < 2\pi \quad \text{或} \quad -\pi \leq \omega < \pi$$

频域离散化 $\omega = \frac{2\pi}{N}k$, 与上述频率范围对应的 k 值为

当 $-\pi \leq \omega < \pi$ 时(即奈奎斯特频率范围不包括 $\omega = +\pi$ 点,而包括 $\omega = -\pi$ 点)

N 为偶数时, $k = -N/2, -N/2+1, \dots, -1, 0, 1, \dots, N/2-1$

N 为奇数时, $k = -(N-1)/2, -(N-3)/2, \dots, -1, 0, 1, \dots, (N-1)/2$

例如, $N=6$, 则 $k = [-3, -2, -1, 0, 1, 2]$, 这里由于 $k=3$ 与 $k=-3$ 处于同一位置, $\omega = \pm\pi$ (由 z 平面单位圆上看 $\omega = \pm\pi$ 在同一位置), 故将 $k=3$ 归于下一个周期内。

$N=7$, 则 $k = [-3, -2, -1, 0, 1, 2, 3]$, 这里由于 $k=3$ 及 $k=-3$ 都在 $\omega = \pm\pi$ 之内, 所有抽样点都满足 $-\pi \leq \omega < \pi$ 。

* 在 MATLAB 语句中, 将 N 为奇数与 N 为偶数两部分综合起来, 可用以下语句表示 k 的范围

* 对于 $-\pi \leq \omega < \pi$ 有 $k = \text{floor}((-N/2+0.5):(N/2-0.5))$

* 对于 $0 \leq \omega < 2\pi$ 有 $k = \text{floor}(0:(N-0.5)) = [0:N-1]$

其中 $\text{floor}(x)$ 表示 x 向下(向 $-\infty$ 方向)取整。

如果只取正半部分奈奎斯特频率, 则有

* 对于 $0 \leq \omega < \pi$ 有 $k = \text{floor}(0:(N/2-0.5))$

2. 将频谱的零频分量移到频谱中心, 即重排 fft。

利用 `fftshift(X)`

它将 FFT 求出的频谱 X 的横轴 $0 \leq \omega < 2\pi$ 移到 DTFT 所需的频谱横轴 $-\pi \leq \omega < \pi$ 上。即将 ω 轴上 $\pi \leq \omega < 2\pi$ 频段(即频谱的后半段)翻褶到 $-\pi \leq \omega < 0$ 频段上去, 当然同时要将位置向量的后半段也要翻褶到前面去。

3. 用 FFT 计算离散时间序列 $x(n)$ 的频谱 $X(e^{j\omega}) = X(e^{j\Omega T})$ 。

(1) $X(e^{j\omega}) = X(e^{j\Omega T})$ 常用的数字频率范围为 $-\pi \leq \omega < \pi$, 相应地有 $-\pi/T \leq \Omega < \pi/T$, 而 DFT 即 $X(k)$ 表示的频率范围为 $0 \leq \omega < 2\pi$, 相应地有 $0 \leq \Omega < 2\pi/T$, 其抽样值 k 的范围为 $0 \leq k \leq N-1$ 。

若要用 $X(k)$ 表示 $X(e^{j\omega})$ 的抽样, 可将频率中心移到 $\omega=0$ 处, 因而用到 `fftshift` 语句。移位后其频率范围为 $-\pi \leq \omega < \pi$, 抽样值存在的 k 的范围为 $k = \lfloor -(N-1)/2, (N-1)/2 \rfloor$ ($\lfloor \cdot \rfloor$ 表示向下取整), 用 MATLAB 语句表示则为 $k = \text{floor}(-(N-1)/2, (N-1)/2)$ (`floor` 表示向 $-\infty$ 方向取整)。

DFT 的抽样频率点为 $\omega_k = k(2\pi/N) = k\Delta\omega$, 其中 $\Delta\omega = 2\pi/N$, 相应地有 $\Omega_k = \omega_k/T = k(2\pi/(NT)) = kD$, 其中 $D = 2\pi/(NT) = (2\pi/N)f_s$, $f_s = 1/T$ 为抽样频率, Ω_k 即为用角频率

表示的频率离散值。

在应用 FFT 来计算时,序列 $x(n)$ 必须是 $n=0,1,\dots,N-1$ 的因果序列,若不是因果序列,则必须用 N 点周期延拓成周期序列后,再取 $0 \leq n \leq N-1$ 范围中的主值序列作为输入序列。输出 $X(k)$ 也必然是在 $0 \leq k \leq N-1$ 范围的值,若要处于对称的频率范围,则需采用 $\text{fftshift}(X)$ 。

(2) 有限长序列 $x(n)$ 的频谱 $X(e^{j\omega})=X(e^{j\omega T})$ 计算。

当用 FFT 计算有限长序列时,当序列长度 N 很短时,若用 N 点 FFT,则频域抽样也是 N 点,例如若 $N=9, T=0.4$,则

$$D = \frac{2\pi}{NT} = \frac{2\pi}{9 \times 0.4} = 1.7453 \text{ rad/s}$$

相邻两个角频率样本的间距 D 很大,若不用插值办法,很难恢复出 $X(e^{j\omega})$,为了提高计算分辨率,需减小 D 值。考虑到序列是有限长的,故只能采取将序列 $x(n)$ 补零值的办法使序列长度成为 L 点, $L > N$, 这样可以使 $D_1 = \frac{2\pi}{LT} < D = \frac{2\pi}{NT}$, 提高了计算的分辨率。只要 L 选得合适就可较好地还原 $X(e^{j\omega})$ 。

【例 4.8】 已知有限长序列 $x(n) = \begin{cases} 1, & -4 \leq n \leq 4 \\ 0, & \text{其他 } n \end{cases}$, 这里 $x(n)$ 的长度为 $N=9$, 求 $x(n)$ 的频谱(DTFT)。

解 若需作 L 点 DFT, 则需将 $x(n)$ 补零值补到为 L 点长, 然后作 L 点周期延拓, 再取主值, 然后对它作 DFT(FFT)。补零值越多, 则计算的频率分辨率越高, 也就是频谱上的取样点越多。这里选取抽样间隔为 $T=0.4$, 取补零后 L 的长度分别为 9, 16, 32, 512 来看对原频谱的逼近情况。

```
clc;clear;close all
c=[9,16,32,512];T=0.4;
for i=1:4
    L=c(i);D=2*pi/(L*T);
    x=[ones(1,5),zeros(1,L-9),ones(1,4)];
    k=floor(-(L-1)/2:(L-1)/2);
    X=fftshift(fft(x,L));
    subplot(2,2,i),plot(k*D,real(X));
    xlabel('\omega(rad)');ylabel('X(e^{j\omega})');grid;
    axis([min(k*D),max(k*D),-5,10]);
    Str=['N= ',num2str(L)];title(Str);
end
```

程序运行结果如图 4.35 所示。

注: ① 由于输入序列是实偶序列, 故其 DFT 也为实偶序列, 则 $\text{real}(X)$ (实部) 就是频率特性。

② plot 将输出序列顶点连线画出连续曲线即 $X(e^{j\omega})$, L 越大, 则越趋近原频谱。 $L=9, 16$ 显然计算的分辨率不满足要求。

③ $\text{num2str}(N)$ 表示变数值为字符串作为图的标注。

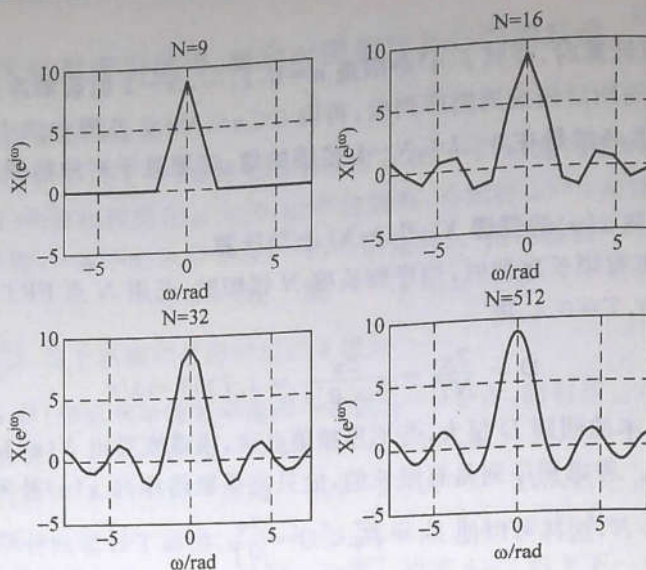


图 4.35 例 4.8 的图

(3) 无限长序列 $x(n)$ 的频谱 $X(e^{j\omega}) = X(e^{j\omega/T})$ 计算。

一个无限长序列用 FFT 求其频谱时,总是要将其截断成有限长序列,可以截断成任意长度,故不存在补零的问题。但是截断的结果会产生波纹以及泄漏。故只能逼近无限长序列的频谱,截断得越长,则逼近误差越小。

如何确定逼近误差,由于不知道精确的 $X(e^{j\omega})$ 是什么,因而无法和它相比较,只能用不断增加截断长度后,在相同的模拟角频率 Ω_i 上比较两次计算结果的误差,使得最大的绝对误差与最大的频谱绝对值的比值,即相对误差满足某个要求即可;不满足,则再增加截断长度。

为了方便比较,必须使每次截断长度等于前一次长度的两倍,这样,当抽样周期 T 选定后(使信号不产生混叠失真,这一要求在后面其他例子中讨论)便于比较。

当用 N_1 点长算出的频谱为 $X_1(j\Omega_1)$,其各频点为

$$\Omega_1(k_1) = k_1 2\pi / (N_1 T), \quad k_1 = 0, 1, \dots, N_1 - 1$$

当用 $N_2 = 2N_1$ 点长算出的频谱为 $X_2(j\Omega_2)$,其各频点为

$$\Omega_2(k_2) = k_2 2\pi / (N_2 T) = k_2 2\pi / (2N_1 T), \quad k_2 = 0, 1, \dots, 2N_1 - 1$$

要求

$$\Omega_2(k_2) = \Omega_1(k_1)$$

则可解出 $k_2 = 2k_1$,即在 $\Omega_2(2k_1) = \Omega_1(k_1)$ 的这些点上比较 X_1 和 X_2 的幅度,从而求出相对误差的最大值,令其小于某一百分数,例如小于 1%。

由于幅频响应是偶对称函数,故只需在 $0 \leq k \leq N_1/2 - 1$ 范围比较即可,编程如下。

【例 4.9】 $x(n) = (0.5)^n u(n)$,求此无限长序列的频谱。若需时域加倍长截断前后,同一频率处频谱的最大相对误差不大于 0.5%,试求截断长度为多少,画出其频谱。设抽样间隔为 $T = 0.4$ 。

解

```
clc;clear
T=0.4;r=1;beta=5e-3;b=0.01
```

```

while b > beta
    N1 = 2 ^ r; n1 = 0:N1-1;
    x1 = 0.5.^n1; X1 = fft(x1);
    N2 = 2 * N1; n2 = 0:N2-1;
    x2 = 0.5.^n2; X2 = fft(x2);
    k1 = 0:N1/2-1; k2 = 2 * k1;
    d = max(abs(X1(k1+1) - X2(k2+1)));
    X1m = max(abs(X1(k1+1)));
    b = d/X1m;
    r = r + 1;
end
k = floor(-(N2-1)/2:(N2-1)/2); D = 2 * pi / (N2 * T); % 那奎斯特频率范围,角频率间隔
subplot(121), plot(k * D, abs(fftshift(X2))); title('幅度谱');
xlabel('模拟角频率(rad/s)'); ylabel('幅度'); grid
subplot(122), plot(k * D, angle(fftshift(X2))); title('相位谱');
xlabel('模拟角频率(rad/s)'); ylabel('相角'); grid

```

N2 = 16

程序运行结果如图 4.36 所示。

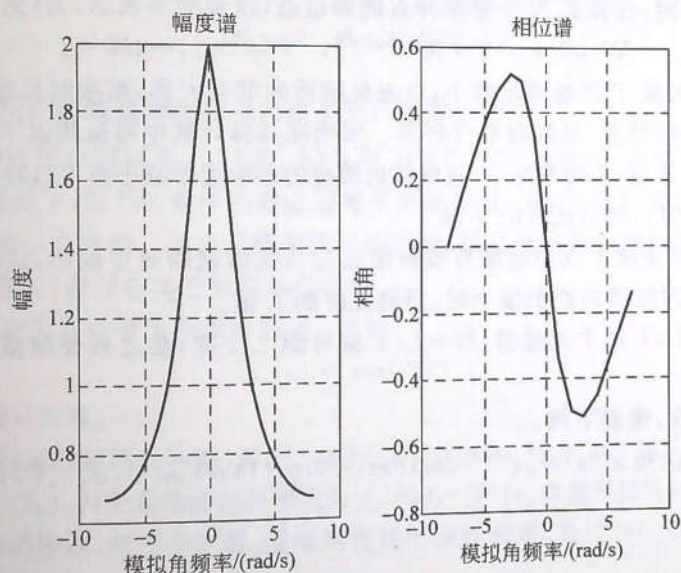


图 4.36 例 4.9 的图

4. 用 FFT 计算连续时间非周期信号 $x_a(t)$ 的频谱 $X_a(j\Omega)$ 。

利用 FFT 计算连续时间非周期信号的频谱 $X(j\Omega)$ 。将 (3.6.12) 式重写如下

$$X_a(j\Omega) = \int_{-\infty}^{\infty} x_a(t) e^{-j\Omega t} dt$$

用 DFT(FFT) 计算时, 得到的频谱公式可见 (3.6.17) 式, 重写如下

$$X_a(jk\Omega_0) = X_a(j\Omega) |_{\Omega = k\Omega_0} = T \cdot \text{DFT}[x(n)], \quad |\Omega| \leq \pi/T$$

T 为抽样间隔, $T = 1/f_s$, f_s 为抽样频率, 当频域抽样足够密时, 则 $T \cdot \text{DFT}[x(n)]$ 的包络足以逼近 $X(j\Omega)$ 。

按 3.6.5 节对模拟信号用 DFT(FFT) 作谱分析时参数选择的讨论, 可知

(1) 有效数据的截断长度 T_0 的选择。 T_0 首先是影响频率分辨率 F_0 ，一般来说， $F_0 = \frac{1}{T_0}$ ；反映在 DFT 上，则用截段长度为 $L = NT$ 表示 T_0 ，其中 T 为抽样间隔， N 为抽样点数。

若频率分辨率用角频率 Ω_0 表示，且用 D 代替 Ω_0 ，则第 k 个抽样的角频率为

$$\Omega_k = k \frac{2\pi}{NT} = kD, \quad D = 2\pi/(NT) = 2\pi/L, \quad L = NT$$

截断的另一个影响是引起吉布斯效应，即产生波纹和肩峰，产生频谱的泄漏，同时也会产生一定的频谱混叠。

(2) 抽样间隔 T (即抽样频率 $f_s = \frac{1}{T}$) 的选择。 T 要足够小使得频率混叠尽量小。

例如使占信号绝大部分能量 $[(98 \sim 99)\%]$ 的最高频率 f_h 满足

$$f_h < f_s/2$$

或判断在 $\Omega = \pm\pi/T$ 处的频谱分量与最大频谱分量的比值小于某一百分数，例如小于 1% 。

(3) 抽样点数 N 。

用 FFT 计算时，计算其 N 个频率样点的频谱值 (以角频率表示) 为 (见 (3.6.17) 式)

$$X_a(jkD) = T \cdot X(e^{j2\pi k/N}), \quad k = 0, 1, \dots, N-1$$

综上 抽样间隔 T 要选择足够小，以避免频谱的混叠失真，而截断长度 $L = NT$ 要选择足够大，以减小截断效应，提高频率分辨率。因而在具体计算中可采用以下步骤：

① 先选定 L 不变， T 逐步减小，直到频谱混叠的影响逐步减小到可以容忍时 (研究 $-\pi/T$ 或 π/T 处的频谱值)，得到此时的 T 值。

② 增加 L 值 (实质上就是增加有效数据长度)，使得截断效应减小，这时采用上面已求的最小 T 值。直到频谱的差别很小时，得到此时的 L 值。

所以只需赋 L 、 T 两个变量值， $N = L/T$ 就可随之改变，总之只要赋值 N 、 L 、 T 中两个变量即可。

基于以上考虑，编程下例。

【例 4.10】 已知 $x_a(t) = [e^{-0.02t} \cos(6\pi t) + 2\cos(14\pi t)]u(t)$ ，求 $x_a(t)$ 的频谱。

解

```
clear,clc
T0=[0.05,0.02,0.01,0.01]; % 4 种抽样间隔
L0=[10,10,10,20]; % 4 种信号记录长度, N=L0(i)/T0(i)
for i=1:4
    T=T0(i);N=L0(i)/T0(i); % 按顺序选用 T 和 L
    D=2*pi/(N*T); % 频率分辨率
    n=0:N-1;x=exp(-0.02*n*T). * cos(6*pi*n*T) + 2*cos(14*pi*n*T); % 序列
    k=floor(-(N-1)/2:(N-1)/2); % 奈奎斯特下标向量
    X=T*fftshift(fft(x)); % 求 x 的 FFT 并移到对称位置
    [i,X(i)] % 检查四次循环在奈奎斯特频率处的幅度
    subplot(2,2,i),plot(k*D,abs(X));
    xlabel('模拟角频率(rad/s)');ylabel('幅度');grid
    axis([min(k*D),max(k*D),0,inf]); % 坐标范围
    str=['T=',num2str(T),'N=',num2str(N)];title(str); % 标题显示抽样间隔及 FFT 点数 N
end
```

程序运行结果如图 4.37 所示。

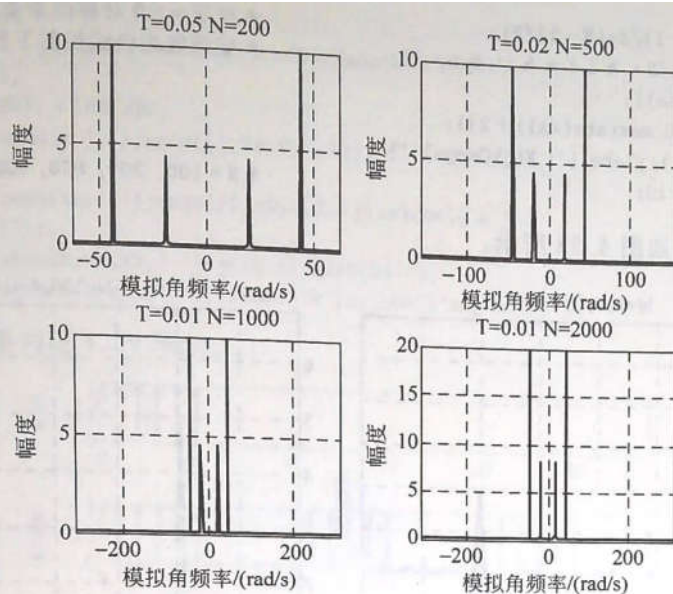


图 4.37 例 4.10 的图

5. 用 FFT(DFT) 计算连续时间周期信号 $\tilde{x}(t)$ 频谱。

在例 3.17 中已用实例证明, 用 DFT 研究周期性信号的频谱时, 在满足 $f_0 = f_s/N$ (或 $f_0 = Mf_s/N$) 的情况下, 信号的截断长度必须等于周期信号的整数倍周期长度, 且至少应为抽样后周期序列的一个周期。如很难确定信号的周期, 则只能作为非周期性信号处理, 但是要截断长度尽量长, 以便更接近周期的整数倍。

【例 4.11】 设周期信号为全部时间轴 t 上的

$$x_a(t) = \cos(10t)$$

试用 DFT 法分析其频谱。

解 此函数的频谱是两个冲激, 即 $X_a(j\Omega) = \pi[\delta(\Omega - 10) + \delta(\Omega + 10)]$, $x_a(t)$ 的最高信号频率为 $f_h = 10/(2\pi)$, 因而最低抽样频率应为 $f_s \geq 2f_h = 10/\pi$, 也就是抽样时间间隔 $T = 1/f_s \leq \pi/10$, 由于截断的影响, 频谱会扩散, 故采用更高的抽样频率, 取 $T = 0.05$ 。由于 $x_a(t)$ 抽样后的 $x(n)$ 为

$$x(n) = \cos(10nT) = \cos(0.5n) = \cos(\omega_0 n)$$

则 $2\pi/\omega_0$ 不能用有理数 $(\frac{N}{k})$ (N, k 为互素的整数) 表示, 故抽样后序列不是周期性的序列, 因而截断长度不可能恰好是周期的整数倍, 所以不可能得到准确的频谱峰值, 只能取较大的截断值 $L = NT$, 即使抽样值 N 更大一些, 数据更多一些, 使频谱更接近真实情况。以下用 N 作为自选参数, 取 $N = 100, 200, 800, 1200$ 来计算。

MATLAB 程序代码为

```
clc;clear;close all
N= input('N= ');T= 0.05;n= 1:N;
D= 2*pi/(N*T);
xa= cos(10*n*T);
Xa= T*fftshift(fft(xa,N));Xa(1)
```

```
% 原始数据
% 计算分辨率
% 有限长余弦序列
% 求 x(n) 的 DFT, 移到对称位置
```



```

k=floor(-(N-1)/2:(N-1)/2);
TITLE=sprintf('N= %i, L= %i', N, N*T);
plot(k*D,abs(Xa));
axis([-20,20,0,max(abs(Xa))+2]);
xlabel('\Omega');ylabel('|X(j\Omega)|');
title(TITLE);grid;

```

% 对于 $w=0$ 对称的奈奎斯特频率下标向量
 % 变数值为格式控制下的字符串

% N=100, 200, 800, 1200 分别执行

程序运行结果如图 4.38 所示。

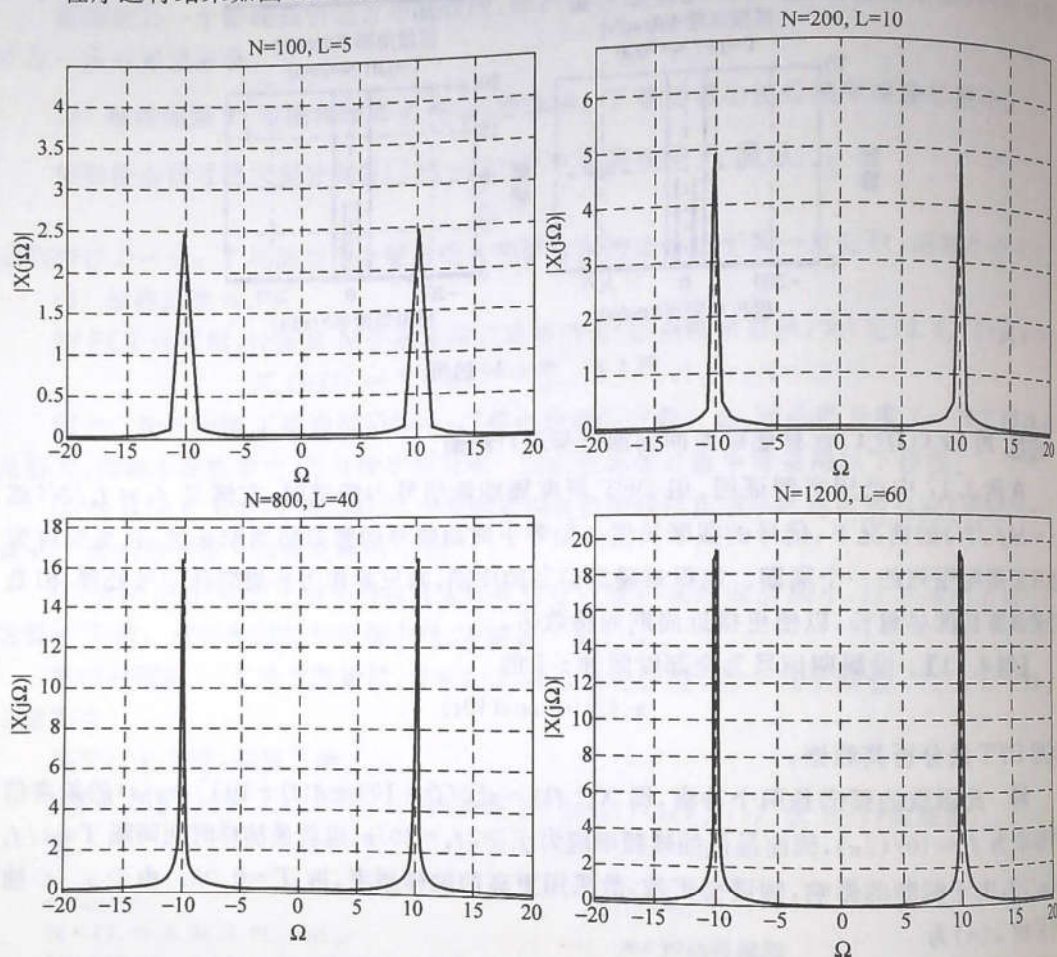


图 4.38 例 4.11 的图

【例 4.12】 采用例 3.2 中的周期序列, 即 $\tilde{x}(n) = \begin{cases} 1, & 0 \leq n \leq 4 \\ 0, & 5 \leq n \leq N-1=9 \end{cases}$, 求此周期序列的 DFS, 并作图。

解 利用 1.5 节中的周期序列形成方法——模运算法, 并利用例 3.2 中已求出的 $\bar{X}(k) = \text{DFS}[\tilde{x}(n)] = e^{-j2\pi k/5} \sin(\pi k/2) / \sin(\pi k/10)$ 。

```

clc;clear;close all
x=[ones(1,5),zeros(1,5)];
N1=10;N=length(x);m=3;
nx=0:m*N-1;
xn=x(mod(nx,N)+1);

```

% 取三个周期画图

% 形成周期序列

```

k = [0:29] + eps;
Xk = exp(-j * 2 * pi * k/5) .* sin(pi * k/2) ./ sin(pi * k/10);
magXk = abs(Xk);
angXk = angle(Xk) * 180 ./ pi;
subplot(411); stem(x, '.'); axis([0, 29, 0, 1.1]);
ylabel('x(n)');
subplot(412); stem(xn, '.'); axis([0, 29, 0, 1.1]); xlabel('n');
ylabel('x10(n)');
subplot(413); stem(k, magXk, '.'); ylabel('|X10(k)|');
subplot(414); stem(k, angXk, '.'); xlabel('k'); ylabel('argX10(k)');

```

程序运行结果如图 4.39 所示。

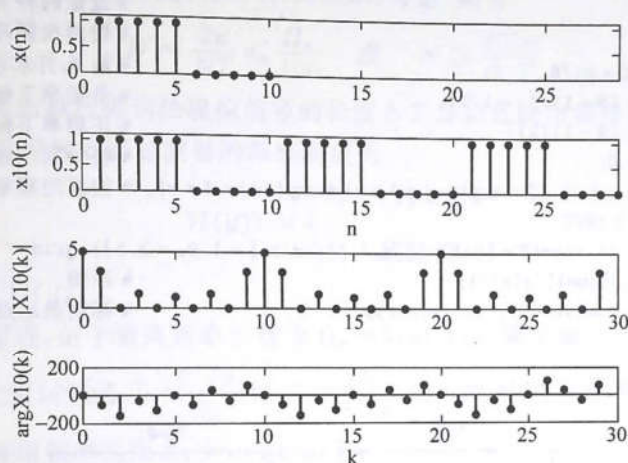


图 4.39 例 4.12 的图

6. 用 IFFT, 从频谱 $X(e^{j\Omega}) = X(e^{j\omega T})$ 计算离散时间序列 $x(n)$ 。

$$x(n) = \frac{1}{N} \sum_{k=0}^{N-1} X(k) W_N^{-nk} = \frac{1}{N} \sum_{k=0}^{N-1} X(k) e^{j\frac{2\pi}{N}nk} = \text{IFFT}[X(k)]$$

其中 $X(k) = X(e^{j\omega})|_{\omega=2\pi k/N} = X(e^{j\Omega T})|_{\Omega=2\pi k/(NT)}$

利用 IDFT (IFFT) 时要注意几点:

(1) 如果用 Ω 作变量, 则必须给出 $T=1/f_s$, 其中 T 为抽样间隔(sec), f_s 为抽样频率(Hz), 必须满足 $f_s \geq 2f_m$, f_m 为信号的最高频率, 即要求

$$T \leq \frac{1}{2f_m} = \frac{\pi}{\Omega_m}$$

(2) 若 $x(n)$ 为实序列, 则 $X(e^{j\omega})$ 必须满足共轭对称关系, 即实部(模)偶对称, 虚部(相角)奇对称, 若表现为 $X(k)$, 则需满足圆周共轭对称的关系, 因此若只给出 $X(e^{j\omega})$ 的表达式又看不出它的对称关系式, 则必须构造一个在 $0 \leq \omega < \pi$ 和 $-\pi \leq \omega < 0$ 范围的圆周共轭对称的抽样值, 即将 $k < 0$ 部分平移到 $k \geq 0$ 部分的右端, 以便形成 $n=0:N-1$ 的序列。

即: 若设 $k_l = \text{floor}(-(N-1)/2 : -1/2)$, $k_h = \text{floor}(0 : (N-1)/2)$

则取 $k = [k_h, k_l]$

这样移动后频谱的抽样序列一定满足圆周共轭对称关系。

(3) 由于有运算误差, 可能算出值有微小的虚部, 需将其舍掉, 但若虚部值很大, 则可能是所给频谱不满足共轭对称性。

(4) 频域抽样点数为 N , 当 N 的选取不当, 可能引起时域的混叠失真, 这在 3.5.1 节已有分析, 故要检验结果的正确性。即选 N 必须满足 $N \geq M$ (M 是序列的长度点数)。

【例 4.13】若 $X(e^{j\omega}) = 3 + e^{-j\omega} - 2e^{-j3\omega} + e^{-j4\omega}$, 求 $x(n) = \text{IDTFT}[X(e^{j\omega})]$ 。
由于此例一看就知: $x(n) = \{3, 1, 0, -2, 1\}$, 但又无法给出整个频段的频谱, 故用数值分析法来求解它。

解 由于 $X(e^{j\omega})$ 是由 ω 作变量, 则可令 $T=1$, 且必须将 ω 在 $[0, 2\pi]$ 间分成 N 等份。

MATLAB 程序如下:

```
clc;clear;close all
T=1;c=[4,8];
for i=1:2
    N=c(i);D=2*pi/N;
    kl=floor(-(N-1)/2:-1/2);
    kh=floor(0:(N-1)/2);
    w=[kh,kl]*D;
    X=3+exp(-j*w)-2*exp(-j*3*w)+exp(-j*4*w); %按新的频率排序,输入数字频谱
    x=ifft(X); %IFFT
    subplot(1,2,i),stem(T*[0:N-1],x,'. ');axis([-1,9,-3,5]);grid
    xlabel('n');ylabel('x(n)');
    str=['N= ',num2str(N)];title(str);
end
```

% 设定两种 N 值
% 做两次循环运算
% 取 N, 并求模拟频率分辨率
% 负频率下标向量
% 正频率下标向量
% 将负频率移到正频率的右方
% 画图
% 标题显示点数

程序运行结果如图 4.40 所示。

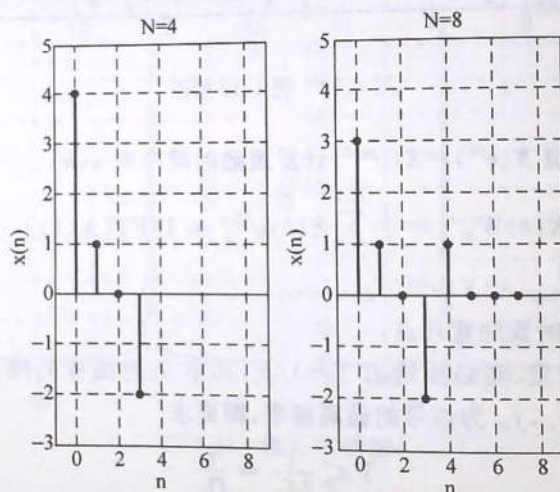


图 4.40 例 4.13 的图

讨论: 当频域抽样点数大于或等于序列长度时, 频域抽样后, 时域周期延拓不会产生混叠现象, 故 $N=4$ 时, 小于时域序列长度 (长度为 5), 产生时域混叠现象; 当 $N=8>5$ 时, 产生的时域序列是正确的, 只不过在尾部多出三个零值点。

7. 用 FFT, 从频谱 $X(j\Omega)$ 计算连续时间信号 $x_a(t)$ 。

从 (3.6.18) 式知

$$x(t) |_{t=nT} = x(n) \approx \frac{1}{T} \text{IDFT}[X(jk\Omega_0)]$$

因而用 FFT(DFT) 从频谱 $X(j\Omega)$ 计算 $x(t)$ 时, 可以利用上一个例子, 只是要把 X 换成 X/T , 即将模拟信号的频谱换成数字信号的频谱, 并且要用 plot 代替 stem, 因为 plot 可以自动直接内插将 $x(n)$ 转换成连续时间信号 $x(t)$, 但在程序应用上有两个问题要讨论:

(1) T 的选择。为了使 plot 的直线内插能真正接近等于 $x(t)$, 必须使所选 T 值比满足抽样定理所需 $T < \frac{\pi}{\Omega_m}$ 要小得多, 例如取 $T = 0.1 \frac{\pi}{\Omega_m}$ 。

(2) N 的选择。 T 减小, 相应的 N 也要加大, N 的选择主要考虑在频谱 $X(j\Omega)$ 有值(不等于零)的频率范围内样值数要足够多, 例如超过 100 个使得频域抽样点间步长很小, 频域抽样值更为精确地反映频谱特性, 若以 Ω (角频率)考虑, 则有

$$D = \frac{2\pi}{NT} \leq \frac{\Omega_m}{100} \quad \text{或} \quad N \geq \frac{200\pi}{\Omega_m T}$$

N 的选择其次要考虑最后得到的模拟信号的长度 NT 足以反映出模拟信号的变化。

【例 4.14】 设理想低通滤波器的频率响应为

$$H(j\Omega) = \begin{cases} 1, & |\Omega| < 5 \\ 0, & \text{其他 } \Omega \end{cases}$$

求 $h(t) = \text{IDTFT}[H(j\Omega)]$ 。

解 按抽样定理, 由于最高频率分量为 $\Omega_m = 5 \text{ rad/s}$, 则满足抽样定理的时域抽样间隔 $\frac{\pi}{\Omega_m} = 0.6283$, 按上面讨论选 $T = \frac{0.1\pi}{\Omega_m}$, 则 $f_s = \frac{\Omega_m}{0.1\pi}$, $\Omega_s = 2\pi f_s = 20\Omega_m = 100$ 。

故 奈奎斯特角频率范围为 $[-\pi/T : \pi/T] = [-50 : 50]$

因而 $N \geq \frac{200\pi}{\Omega_m T} = \frac{200\pi}{0.1\pi} = 2000$

则角频率分辨率为 $D = \frac{2\pi}{NT} = 0.05$, 于是在有值频带内可有 $\Omega_m/D = 100$

所对应的边界频率的下标为 $M = \text{floor}(\Omega_m/D) = 100$

```

clc;clear all
wc=5;T=0.1*pi/wc; %选T为抽样间隔的1/10
N=100*2*pi/wc/T; %输入的样点数
D=2*pi/(N*T);w=[0:N-1]*D; %模拟角频率的分辨率及频率向量
M=floor(wc/D); %有效频段的边界下标
H=[ones(1,M+1),zeros(1,N-2*M-1),ones(1,M)]; %按新的频率排序后的频谱
h=ifft(H/T); %用IFFT求h(n)/T
plot([0:N-1]*T,h);xlabel('t');ylabel('h(t)'); %用plot直线样值画出单位抽样响应

```

程序运行结果如图 4.41 所示。

4.11.3 线性调频 z 变换(CZT)算法

CZT 算法的分析见 4.8 节, 它是在更大范围的 z 平面上(既可是单位圆, 也可不是单位圆, 既可是整个单位圆, 也可不是单位圆上部分频段; 更可以是 z 平面任意螺旋线上)来计算 $X(z_k)$ 的值。

MATLAB 信号处理工具箱中, 计算 CZT 的函数为 `czt`, 调用格式为

$y = \text{czt}(x, m, w, a)$

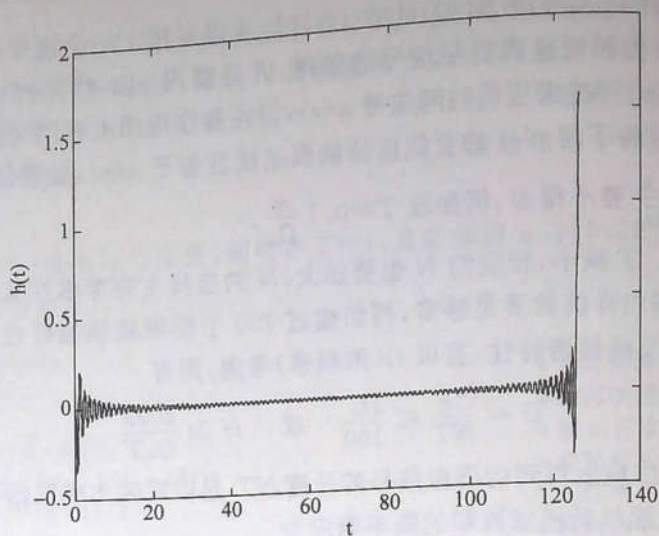


图 4.41 例 4.14 的图

它可以计算信号 x 的 m 点线性调频 z 变换, m, w, a 皆为标量, 此函数沿 z 平面指定的弧线计算 z 变换的抽样值, 这个弧线由 m, w 和 a 来确定, m 是变换的长度, w 是弧线上各相邻点之间的复数比值, a 是复数的起点。各量的定义可见 4.8 节中的 (4.8.1) 式 ~ (4.8.3) 式。

CZT 的定义见 (4.8.4) 式, 利用 MATLAB 函数时, 数组从 1 开始计算, 故可改写为

$$X(z_k) = \sum_{n=1}^N x(n) z_k^{-(n-1)}, \quad z_k = aw^{-(k-1)}, \quad 1 \leq k \leq M$$

以下举例说明, 若螺旋线取为单位圆时, 如何用 CZT 来将部分频段上的频谱加以细化。

【例 4.15】 采用 CZT 算法研究窗函数线性相位 FIR 滤波器过渡带中更详细的频率特性。设 $f_p = 100\text{Hz}$, $f_{st} = 200\text{Hz}$, 抽样频率 $f_s = 1000\text{Hz}$ 。

解

```
clc;clear all
h = fir1(40,150/500);
fs = 1000;f1 = 100;f2 = 200; % 模拟频率 Hz
m = 1024;
w = exp(-j*2*pi*(f2-f1)/(m*fs)); % z 平面弧线
a = exp(j*2*pi*f1/fs); % 弧线的起点
H = fft(h,1000); % 用 FFT 求滤波器频率响应抽样值
H1 = czt(h,m,w,a); % 利用 CZT 研究过渡带内的频率特性
fH = (0:length(H)-1)' * 1000/length(H);
fH1 = ((0:length(H1)-1)' * (f2-f1)/length(H1)) + f1;
figure(1)
subplot(211)
plot(fH(1:500),abs(H(1:500)));axis([1,500,0,1.2]);
title('FFT');xlabel('f');ylabel('H(jf)');grid
subplot(212)
plot(fH1,abs(H1));axis([f1,f2,0,1.2]);
title('czt');xlabel('f');ylabel('H(jf)');grid;
```

程序运行结果如图 4.42 所示。

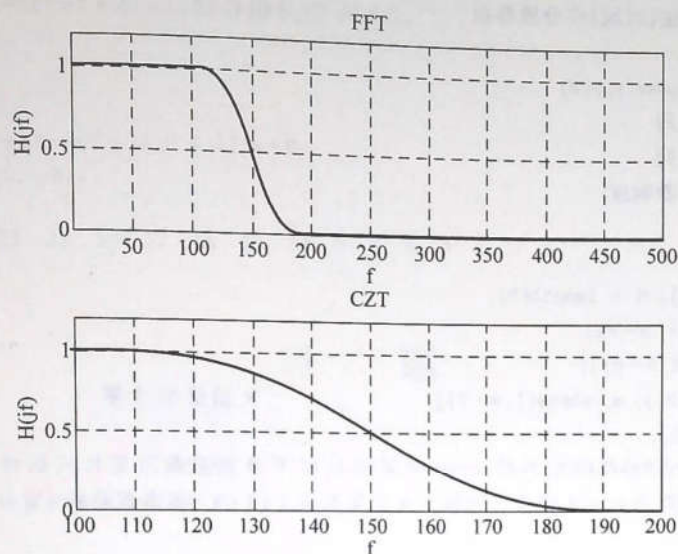


图 4.42 例 4.15 的图

4.11.4 重叠保留法与重叠相加法

1. 采用 FFT 的分段卷积法——重叠相加法实现线性卷积的 MATLAB 程序可参照 4.9.1 节讨论及图 4.27, 它是输入分段不重叠, 输出将重叠部分相加。MATLAB 信号处理工具箱中, 函数 `fftfilt.m` 就是实现这一运算的, 其中在求各段的线性卷积时采用 FFT 算法, 故求卷积的速度很快, 由于求卷积就是计算滤波器输出, 故有上述命名 (`fftfilt`)。它也是适宜输入序列很长, 而单位冲激响应很短的情况, 有两种格式:

```
y = fftfilt(b, x)
y = fftfilt(b, x, N)
```

这里, b 是系统单位冲激响应 (FIR 滤波器), x 是输入的长序列。对第二种表示法, 所采用的 FFT 长度为 $n_{\text{fft}} = 2^{\text{nextpow2}(N)}$, N 必须大于 b 的长度, 而数据分段长度为 $N_1 = n_{\text{fft}} - \text{length}(b) + 1$ 。其中 `nextpow2(N)` 函数则是找出大于 N 而又与 N 最接近的 2 的幂指数。例如 $N=31$, 则 `nextpow2(N)=5`, 又如 $N=40$, 则 `nextpow2(N)=6`。

对第一种表示法, `fftfilt` 会选择 FFT 的长度及数据段长度, 以保证合适的执行时间。

这一程序中, b 既可代表单位冲激响应 (有限长), 又可代表 FIR 滤波器系统函数 (以 z^{-1} 表示, 即 z 的负幂表示) 的系数, 所以这一程序又是利用重叠相加法基于 FFT 的 FIR 滤波。

这种方法没有采用 FFT, 故计算效率不高。改成 FFT 运算是很方便的。

2. 采用时域作重叠保留法 (分段圆周卷积) 实现线性卷积的 MATLAB 程序。可参照 4.9.2 节及图 4.30, 程序 (输入分段有重叠, 输出去掉重叠部分) `ovlapsav.m` 如下:


```

function [y] = ovepsav(x,h,N)
% 用重叠保留法(时域)作分段卷积
% -----
% [y] = ovepsav(x,h,N)
% y = 输出序列
% x = 输入序列
% h = 单位冲激响应
% N = 分段长
%
Lx = length(x); M = length(h);
M1 = M-1; L = N-M1;
h = [h zeros(1,N-M)];
x = [zeros(1,M1), x, zeros(1,N-1)]
% K=ceil(Lx/L);
% 前置 M1 个零
K = floor((Lx+M1)/L) + 1;
% 分段数
% 与后续各段卷积
y = zeros(K,N);
for k=0:K-1
    xk = x(k*L+1:k*L+N);
    y(k+1,:) = circonvt(xk,h,N);
end
% 去掉前 M1 个样值
y = (:,M:N)';
% 装成输出
Y = (y(:))';

```

3. 采用频域方法(利用 FFT)作重叠保留法(分段)实现线性卷积的 MATLAB 程序, 重叠保留法的 FFT 算法分析见 4.9.2 节, 尤其是参照图 4.30, 程序 hsolpsav.m 如下:

```

function [y] = hsolpsav(x,h,N)
% 用 FFT 的重叠保留法作分段卷积
%
% [y] = hsolpsav(x,h,N)
% y = 输出序列
% x = 输入序列
% h = 脉冲响应
% N = 分段长(必须是二的幂次)
%
N = 2^(ceil(log10(N)/log10(2)));
Lx = length(x); M = length(h);
M1 = M-1; L = N-M1;
H = fft(h,N);
K=ceil(Lx/L);
% 分段的数目
x = [zeros(1,M1), x, zeros(1,N-1)];
% 前置 M1 个零点
y = zeros(K,N);
for k=0:K-1
    Xk = fft(x(k*L+1:k*L+N));
    y(k+1,:) = real(ifft(Xk.*H));
end
% 去掉前面 M1 个值
y = y(:,M:N)'; Y = (y(:))';

```

【例 4.16】 已知 $x(n)=13-n, 0 \leq n \leq 12, h(n)=\{2, -1, 1\}$, 用重叠保留法(采用 FFT 计算)。求 $y(n)=x(n) * h(n)$, 设分段长度 $N=6$ 。

解

```
clc;clear all;
n=[0:12];x=13-n;h=[2, -1, 1];N=6;
y=hsolpsav(x,h,N);
```

```
y= 26  11  23  21  19  17  15  13  11  9  7  5  3  1  1
```

7. 圆周卷积。用圆周卷积计算线性卷积。

(1) 时域方法。

* 圆周卷积的公式见(3.4.46)式,若用圆周卷积矩阵表示,则采用(3.4.48)式。下面采用圆周移位关系的表达式来实现圆周卷积,即利用开发出的 `circonvt, m` 函数来实现圆周卷积。

$$y(n) = \left(\sum_{m=0}^{L-1} x_1(m) x_2((n-m)) \right) R_L(n) \quad (3.4.47)$$

```
function y = circonvt(x1,x2,N)
```

```
% 在 x1 和 x2(时域)之间的 N 点圆周卷积
```

```
%
```

```
% [y] = circonvt(x1,x2,N)
```

```
% y = 包含圆周卷积的输出序列
```

```
% x1 = 长度 N1 <= N 的输入序列
```

```
% x2 = 长度 N2 <= N 的输入序列
```

```
% N = 圆周缓冲器的大小
```

```
% 方法  $y(n) = \sum(x1(m) * x2((n-m) \bmod N))$ 
```

$$\begin{bmatrix} y(0) \\ y(1) \\ \vdots \\ y(L-1) \end{bmatrix} = \begin{bmatrix} x_2(0) & x_2(L-1) & \dots & x_2(1) \\ x_2(1) & x_2(0) & \dots & x_2(2) \\ \vdots & \vdots & \ddots & \vdots \\ x_2(L-1) & x_2(L-2) & \dots & x_2(0) \end{bmatrix} \begin{bmatrix} x_1(0) \\ x_1(1) \\ \vdots \\ x_1(L-1) \end{bmatrix} \quad (3.4.48)$$


```

% Check for length of x1
if length(x1)>N
    error('N 必须 >= x1 的长度')
end

```

```

% Check for length of x2
if length(x2)>N
    error('N 必须 >= x2 的长度')
end

```

```

x1 = [x1 zeros(1, N-length(x1))];
x2 = [x2 zeros(1, N-length(x2))];

```

```

m = [0:1:N-1];
x2 = x2(mod(-m, N) + 1);
H = zeros(N, N);

```

```

for n = 1:1:N
    H(n, :) = cirshift(x2, n-1, N);
end

```

```

y = x1 * H';

```

【例 3.24】 已知 $x_1(n)=[2, 4, 3, 1]$, $x_2(n)=[2, 1, 3]$, 求 4 点圆周卷积 $y(n)=x_1(n) \otimes x_2(n)$ 。

解:

```

clc; clear all
x1 = [2 4 3 1]; x2 = [2 1 3];
y = circonvt(x1, x2, 4)

```

```

y = 14    13    16    17

```

* 用圆周卷积计算线性卷积。

显然, 当 $N \geq N_1 + N_2 - 1$ 时, 由 $\text{circonvt}(x_1, x_2, N)$ 所得到的结果就等于线性卷积结果, 即

$$x_1(n) \otimes x_2(n) = x_1(n) * x_2(n) = [4, 10, 16, 17, 10, 3]$$

(2) 在频域中计算来实现圆周卷积及线性卷积。

* 实际上就是利用图 3.10 的框图来求解, 它既可以求圆周卷积, 也可以求线性卷积。求圆周卷积时, 只需将短序列长度补零值点, 补到和长序列的长度相等即可。利用 DFT 矩阵 $\text{dftmtx}(L)$ 及 IDFT 矩阵 $\text{conj}(\text{dftmtx}(L)/L)$ 即可求解。

* 当然最方便的办法是采用以下几条简单语句即可 (利用 FFT (快速傅里叶变换) 算法)

```

X1 = fft(x1, N); X2 = fft(x2, N);
Y = X1 * X2; y = ifft(Y, N);

```

显然, 当 N 满足 $N \geq N_1 + N_2 - 1$ 时, 这样求出的圆周卷积结果就代表线性卷积结果。

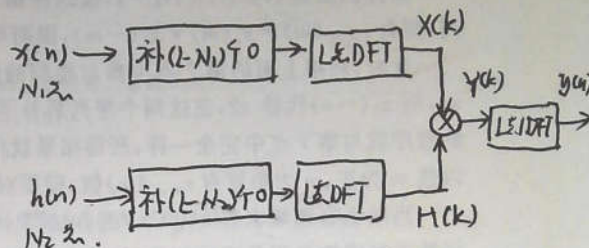


图 3.10. 利用 DFT 计算有限长 L 点序列的圆周卷积的框图。